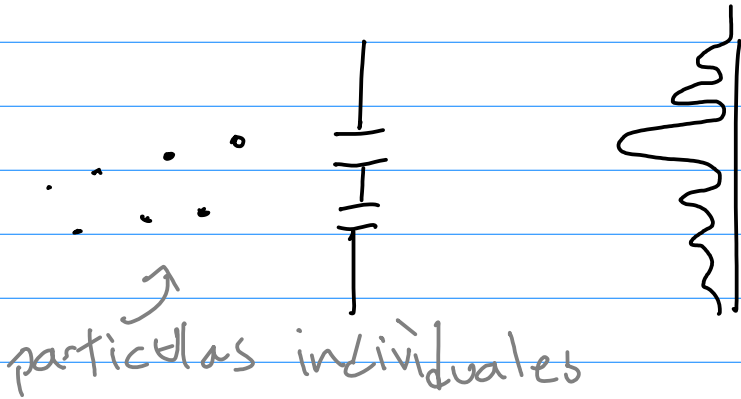


Átomos de Rydberg y Óptica cuántica

XXVIII Escuela de verano en física

- Introducción

- Experimentos pensados



- Control de sistemas individuales.

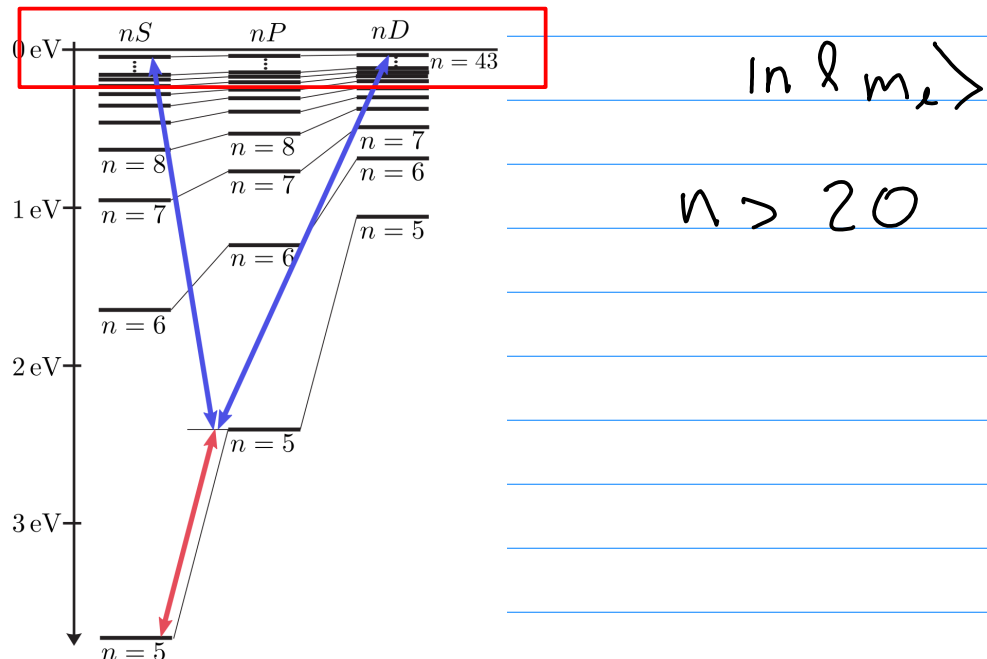
- Aprovechar entrelazamiento y superposición.

- Interacciones fuertes → control individual

- Interacciones fuertes a través de estados de Rydberg.

- Átomos de Rydberg

- Átomos altamente excitados



Rb

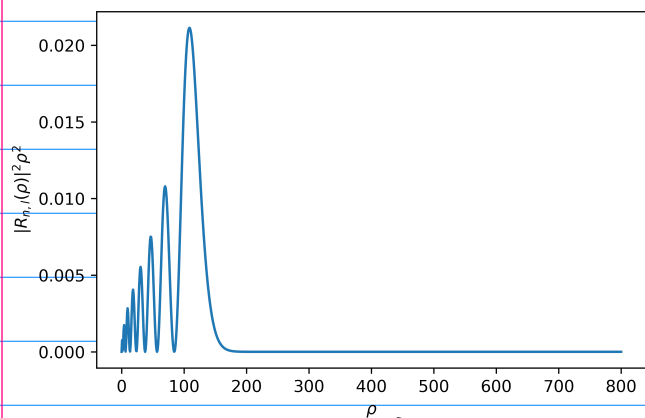
- ① Átomos de Rydberg solos
- ② Interacción entre átomos de Ryd.
- ③ Bloques de Rydberg
- ④ Óptica cuántica con átomos de Rydberg

Atomos de Rydberg solos

- Muchos tipos de sistemas

Group →	1	2	3	4	5	6	7	8	9	10	11	12	13	14	15	16	17	18	
Period ↓	1																	2	
2	3 Li	4 Be																10 Ne	
3	11 Na	12 Mg																18 Ar	
4	19 K	20 Ca	21 Sc	22 Ti	23 V	24 Cr	25 Mn	26 Fe	27 Co	28 Ni	29 Cu	30 Zn	31 Ga	32 Ge	33 As	34 Se	35 Br	36 Kr	
5	37 Rb	38 Sr	39 Y	40 Zr	41 Nb	42 Mo	43 Tc	44 Ru	45 Rh	46 Pd	47 Ag	48 Cd	49 In	50 Sn	51 Sb	52 Te	53 I	54 Xe	
6	55 Cs	56 Ba	*	71 Lu	72 Hf	73 Ta	74 W	75 Re	76 Os	77 Ir	78 Pt	79 Au	80 Hg	81 Tl	82 Pb	83 Bi	84 Po	85 At	86 Rn
7	87 Fr	88 Ra	*	103 Lr	104 Rf	105 Db	106 Sg	107 Bh	108 Hs	109 Mt	110 Ds	111 Rg	112 Cn	113 Nh	114 Fl	115 Mc	116 Lv	117 Ts	118 Og
	*	57 La	58 Ce	59 Pr	60 Nd	61 Pm	62 Sm	63 Eu	64 Gd	65 Tb	66 Dy	67 Ho	68 Er	69 Tm	70 Yb				
	*	89 Ac	90 Th	91 Pa	92 U	93 Np	94 Pu	95 Am	96 Cm	97 Bk	98 Cf	99 Es	100 Fm	101 Md	102 No				

- Para hidrógeno $R_{n,l}(\rho)$

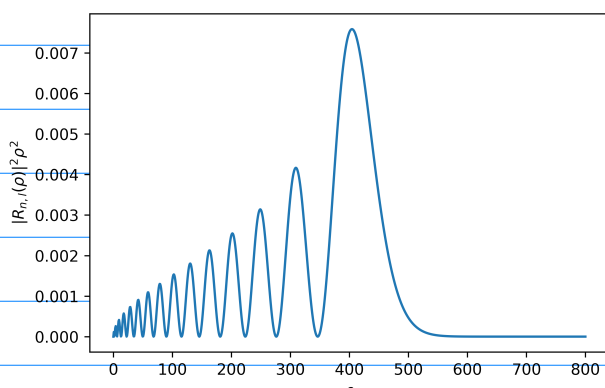


En general, cuando n aumenta, los efectos del núcleo sobre el electrón disminuyen

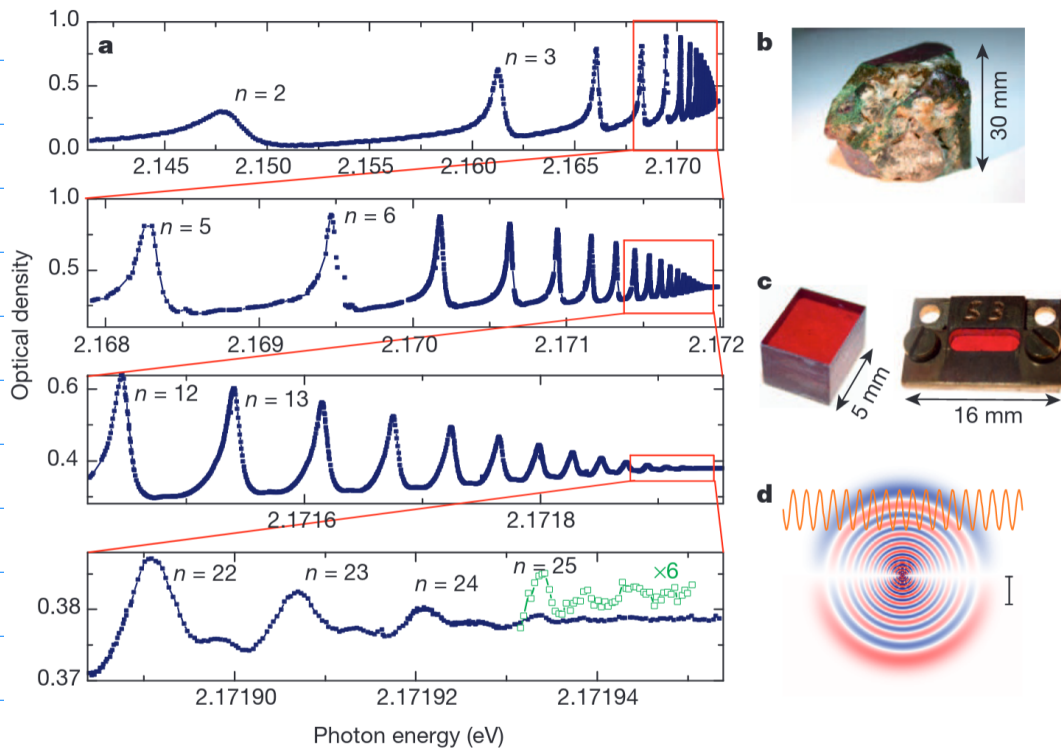
Para $n=100$

$$\langle r \rangle \sim 20,000 a_0 \sim 1 \mu\text{m}$$

↑
 $\sim 0.5 \text{\AA} \sim 0.5 \times 10^{-10} \text{ m}$

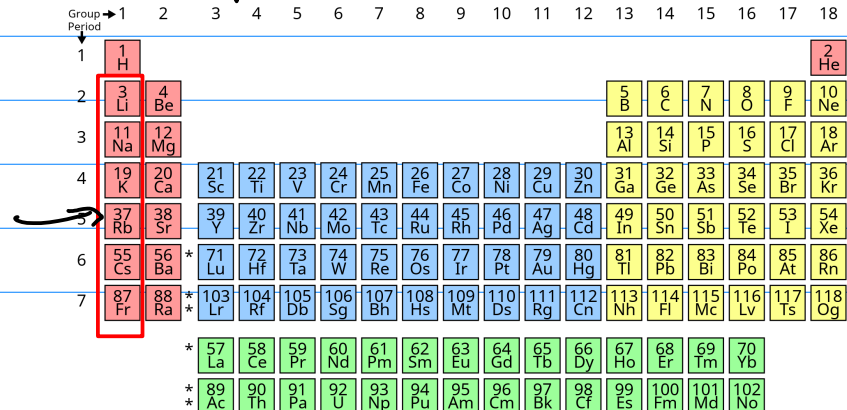


- También dentro de sólidos como CuO₂ se pueden preparar estados de Rydberg y excitones electrón-huaco



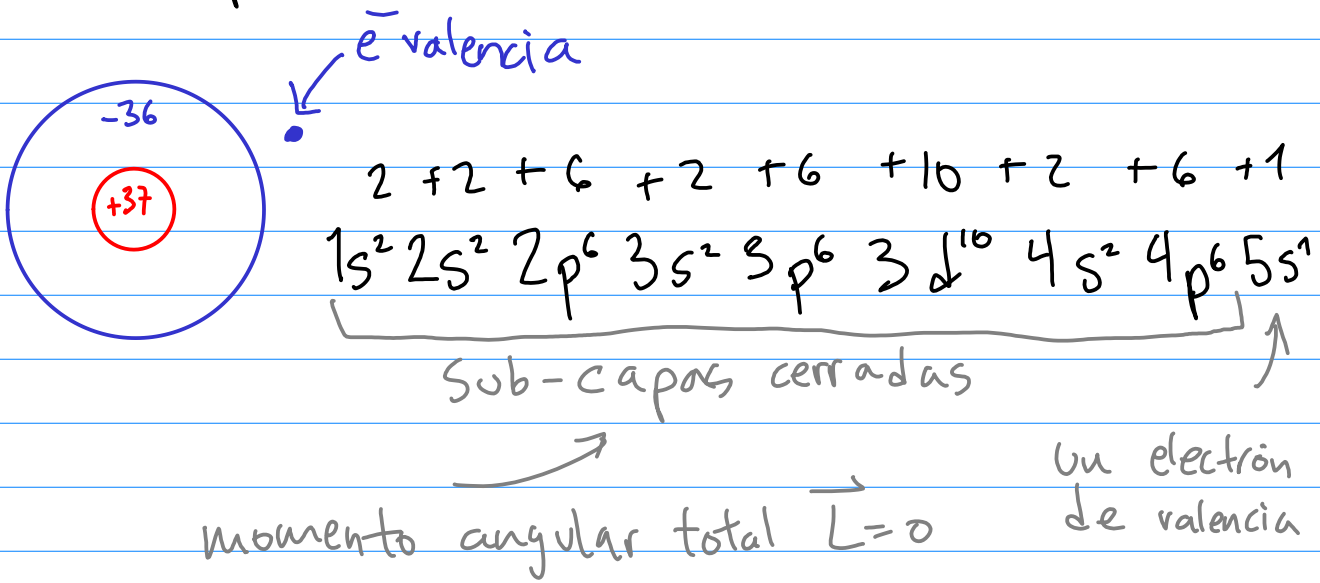
Kazimierczuk et al., Nature 514, 343 (2014)

- Nos enfocaremos en átomos alcalinos que se pueden aproximar como problema de 2 cuerpos con buena aproximación



$$(l=0 \rightarrow s, l=1 \rightarrow p, l=2 \rightarrow d)$$

- Ejemplo Rubidio (37 electrones)



- Mientras campo eléctrico \sim rango óptico (no rayos X)
- ¿Cómo escribir el estado?

- Potencial central principal $n=1, \dots$
 (no relativista) momento angular $l=0, 1, \dots$
 (principal) proy. de momento ang. $m=-l, \dots, l$

- relativista acoplamiento $S=\frac{1}{2}$
 (espín del electron) espín-orbita $j=|l-s|, \dots, |l+s|$
 (fina) $\bar{J} = \bar{L} + \bar{S}$ m_j

- Efectos del núcleo I
 espín del núcleo F
 (hiperfina) acoplamiento $\sim \bar{I} \cdot \bar{J}$
 espín nuclear $\vec{F} = \vec{I} + \vec{J}$

Los estados tienen esta forma

$$|n\ \ell\ s_j\ \text{[F}\ m_F\rangle$$

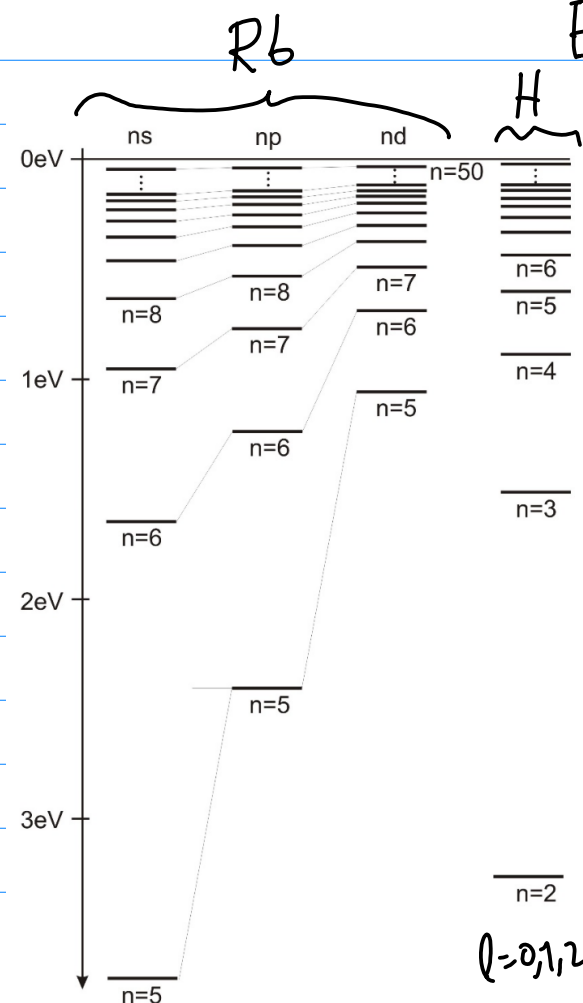
- Las energías

Para hidrógeno

$$E_n = -\frac{hc R_\infty}{n^2}$$

constante de Rydberg

Para átomos alcalinos



$$E_n = -\frac{hc R_\infty}{(n - \delta_{\ell, F})^2}$$

constante de Rydberg modificada

defecto cuántico

Para r pequeño

$$V(r) \approx -\frac{36e^2}{4\pi\epsilon_0 r}$$

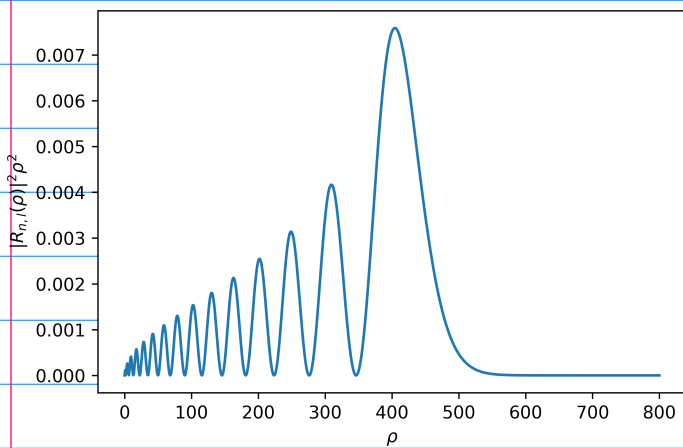
Para r grande

$$V(r) = -\frac{Z(r)e^2}{4\pi\epsilon_0 r}$$

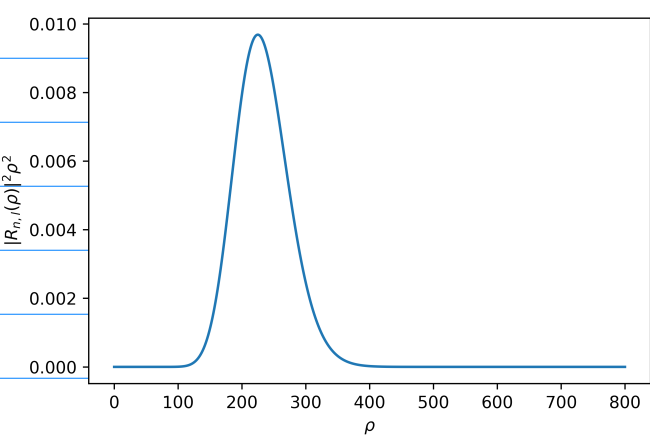
$$V(r) \approx -\frac{e^2}{4\pi\epsilon_0 r}$$

$$\ell = 0, 1, 2, \dots$$

$n=15, l=0$



$n=15, l=14$



Para conocer las funciones de onda del Rb.

$$\left(-\frac{\hbar^2}{2m} \nabla^2 + V(r) \right) \psi(\vec{r}) = E \psi(\vec{r})$$

Con argumentos físicos se
propone un potencial modelo

medimos
las energías

$$\left(-\frac{\hbar^2}{2m} \nabla^2 + V(r) \right) \psi(\vec{r}) = E \psi(\vec{r})$$

obtenemos $E_{\vec{\alpha}}, \psi_{\vec{\alpha}}(\vec{r})$ $\vec{\alpha} = (nlsjIMF)$

Comparación

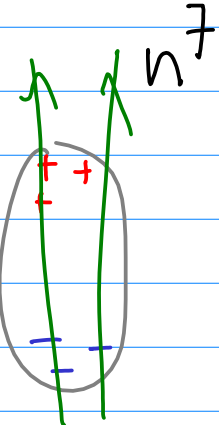
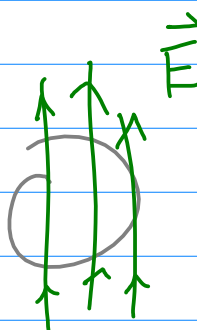
repetir hasta
que la comparación coincida

Podemos concluir

$$\text{Tamaño} \sim n^2$$

$$\text{Vida media} \sim n^3$$

Polarizabilidad



$|S\rangle$

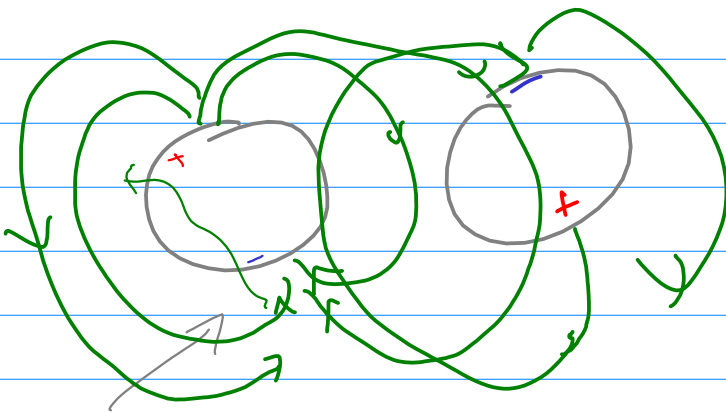
$$\text{Polarizabilidad} \propto |S\rangle + p|P\rangle + \dots$$

$$+ + - = \text{---}$$

$$\vec{d} = \frac{1}{2} \alpha \vec{E}$$

Interacción entre átomos de Rydberg

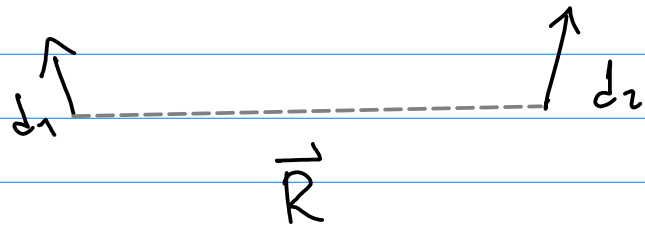
Interacción de van der Waals.



Fluctuación
de campo eléctrico

Interacción dipolo-dipolo

$$H_{dd} = \frac{d_1 \cdot d_2 - 3(\vec{d}_1 \cdot \hat{R})(\vec{d}_2 \cdot \hat{R})}{R^3}$$



$$\left| n_1 l_1 s_{1j} I_1 F_1 M_{F_1} \right\rangle \otimes \left| n_2 l_2 s_{2j} I_2 F_2 M_{F_2} \right\rangle \\ = |\alpha \beta \rangle$$

$$\Delta E(R) = \langle \alpha \beta | H_{dd}(R) | \alpha \beta \rangle = 0$$

Si nos fijamos en el primer término:

$$\langle \alpha\beta | d_1 \cdot d_2 | \alpha\beta \rangle = \cancel{\langle \alpha | d_1 | \alpha \rangle} \cdot \cancel{\langle \beta | d_2 | \beta \rangle}$$

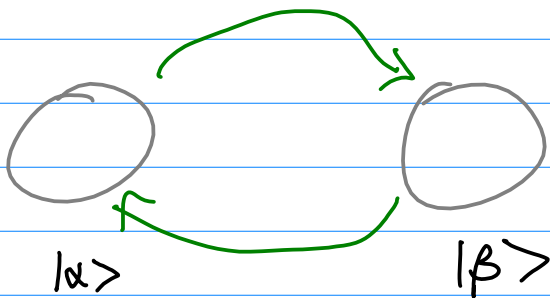
α tiene la misma paridad que α

No hay dipolo a primer orden. Hay que calcular a segundo orden para obtener valor distinto de cero

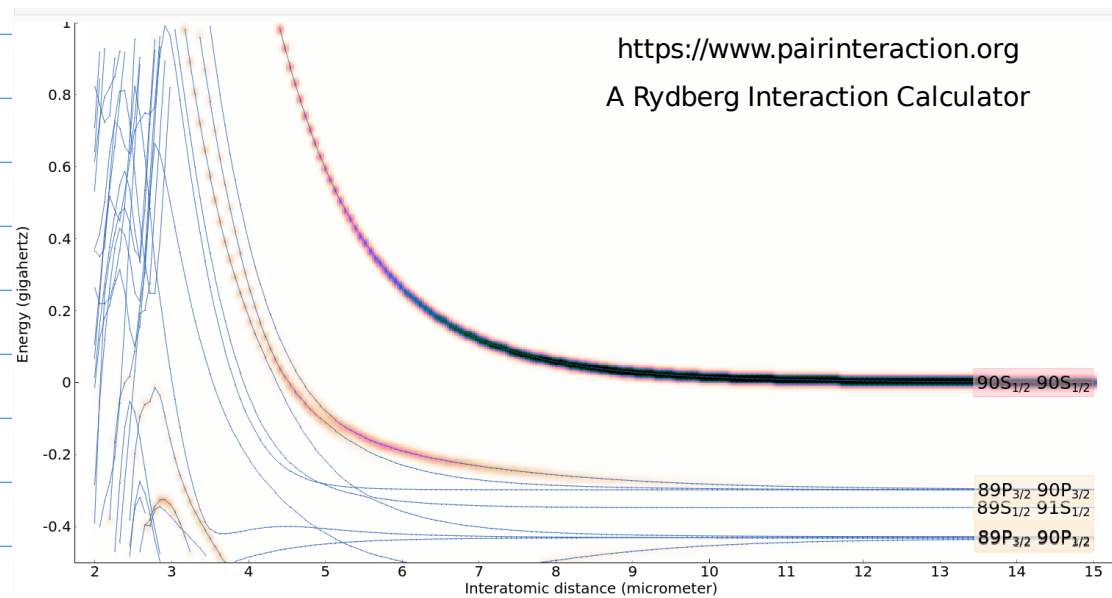
$$\begin{aligned}\Delta E_{\alpha\beta}^{(2)}(R) &= \sum_{\mu\nu} \frac{|\langle \alpha\beta | H_{dd}(R) | \mu\nu \rangle|^2}{E_{\alpha\beta} - E_{\mu\nu}} \\ &= \frac{1}{R^6} \sum_{\mu\nu} \frac{|\langle \alpha\beta | \vec{d}_1 \cdot \vec{d}_2 - 3(\vec{d}_1 \cdot \hat{R})(\vec{d}_2 \cdot \hat{R}) | \mu\nu \rangle|^2}{E_{\alpha\beta} - E_{\mu\nu}} \\ &= \frac{C_6}{R^6} \quad (C_6 \sim n^{11})\end{aligned}$$

$$H_{dd} = \underbrace{d_1 \cdot d_2 - 3(\vec{d}_1 \cdot \hat{R})(\vec{d}_2 \cdot \hat{R})}_{R^3}$$

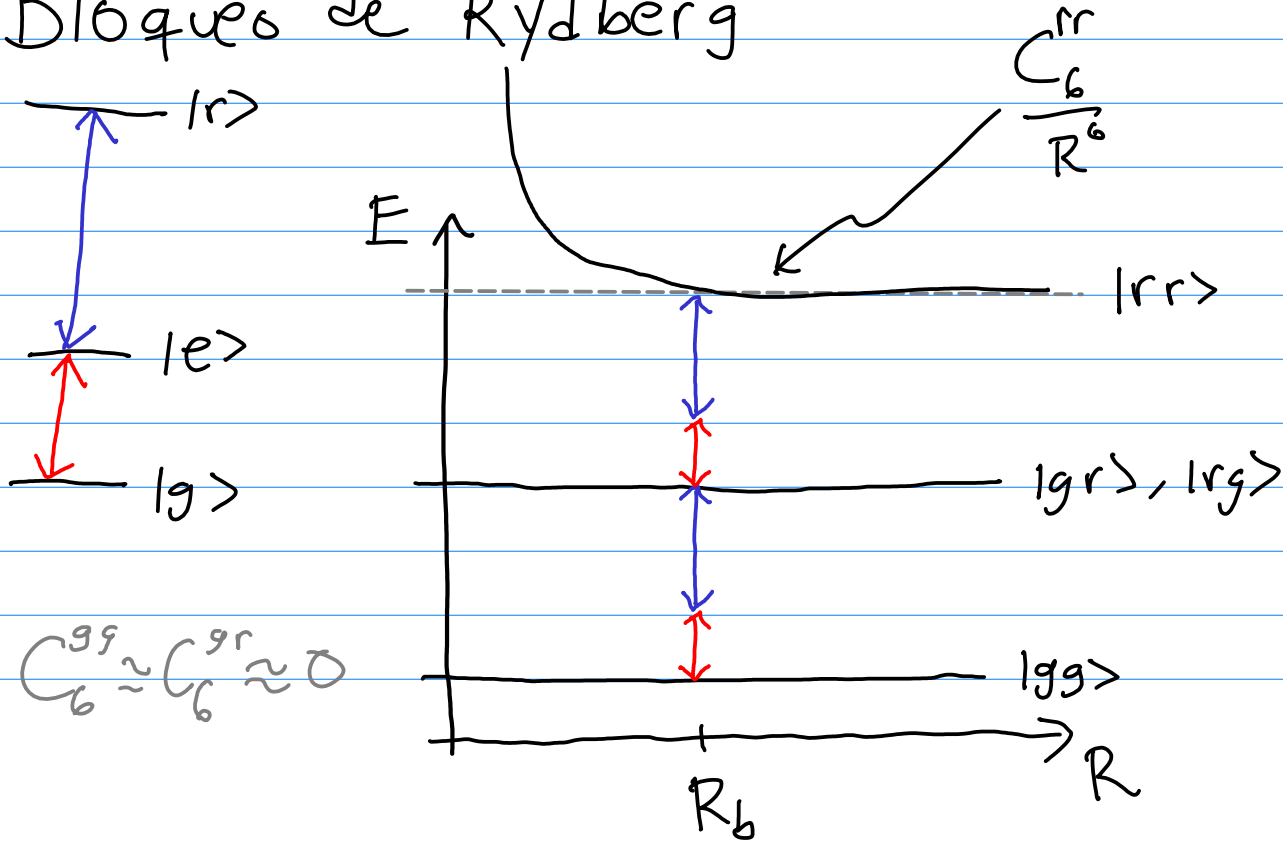
Interacción vdW



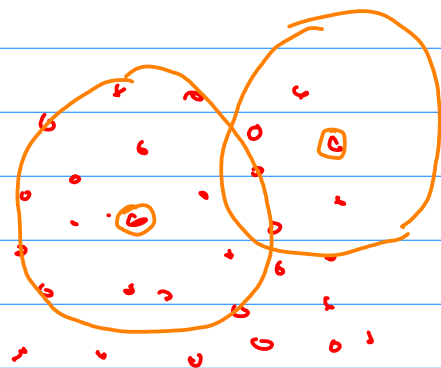
$$\Delta E_{\alpha\beta}(R) = \frac{C_6}{R^6}$$



Bloques de Rydberg



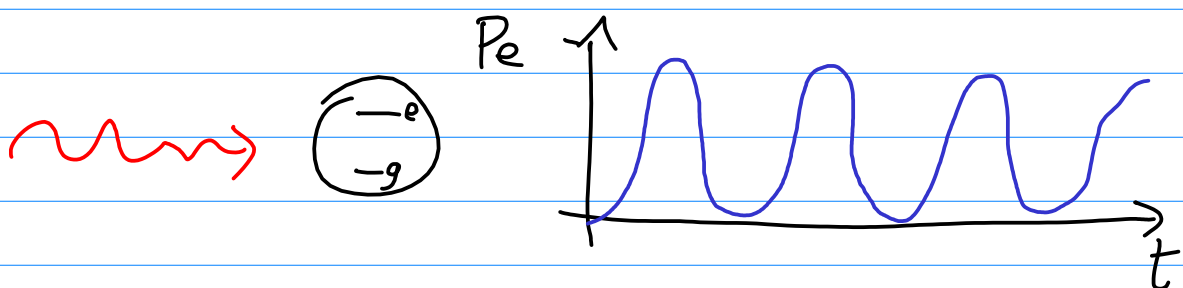
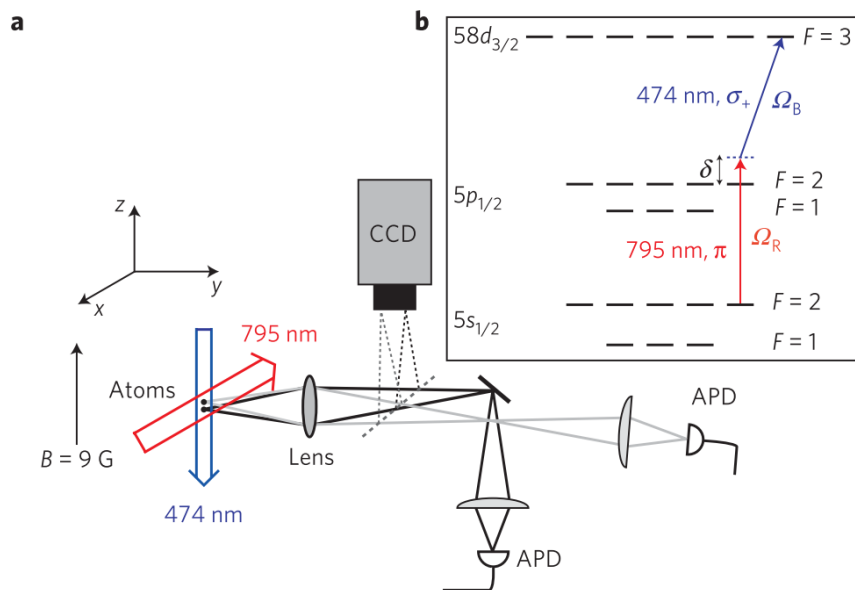
- Debido a la interacción de van der Waals, existe una distancia R_b abajo de la cual sólo se puede excitar un átomo a estado de Rydberg.

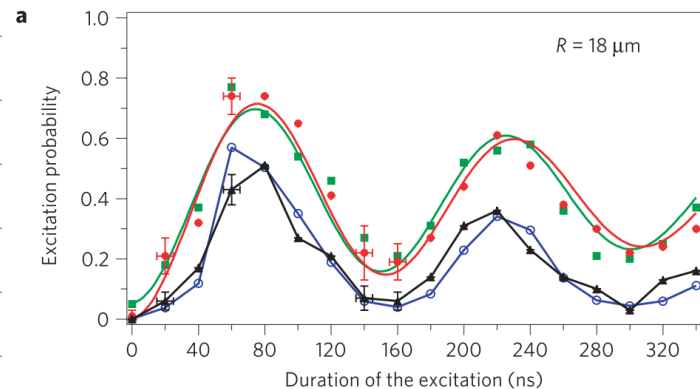
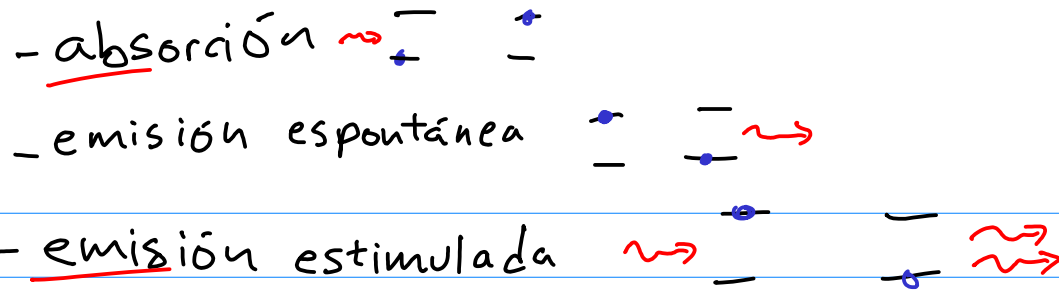


1 átomo de Rydberg afecta las propiedades ópticas de $\sim 10,000$ átomos cercanos.

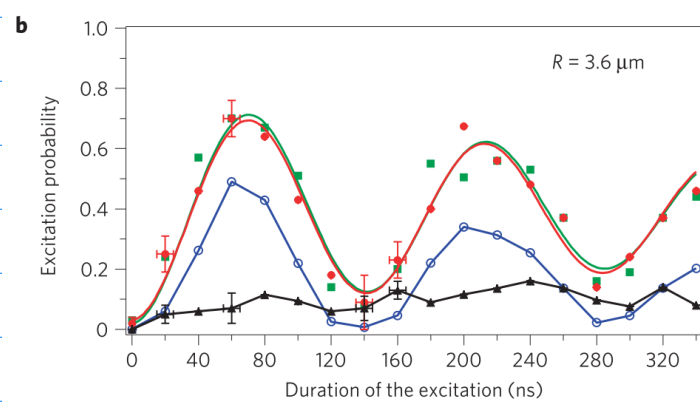
Experimentos de bloqueo de Rydberg

Gaëtan et.al, Nature Physics volume 5, pages 115-118 (2009)

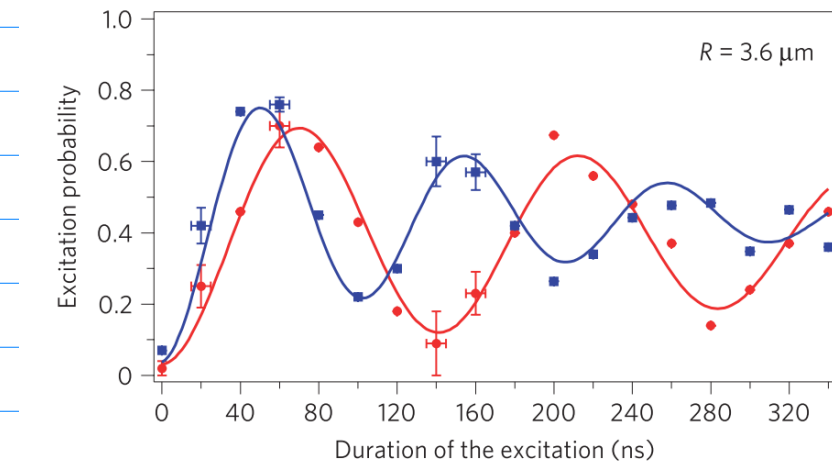




átomo excitado sólo en A
 átomo excitado sólo en B
 átomo excitado en A y en B

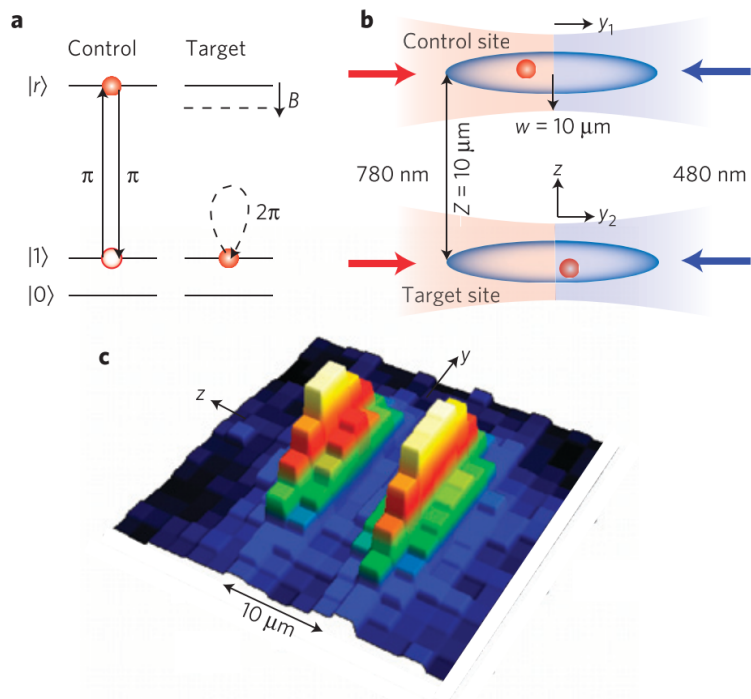


Prob de excitar un átomo cuando está solo.
 Prob de excitar algún átomo cuando ambos sitios están ocupados.

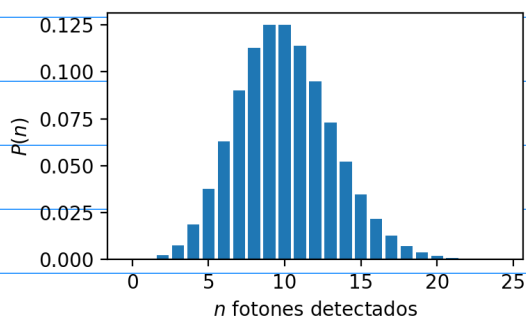


Estado excitado

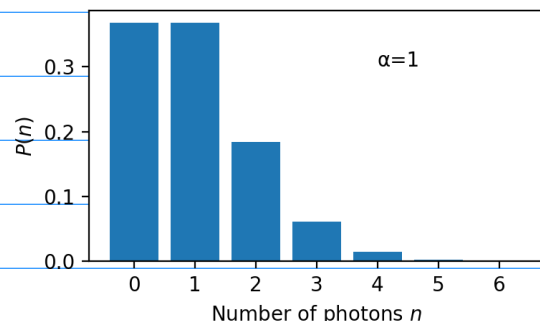
$$|w\rangle = \frac{1}{\sqrt{2}}(|gr\rangle + |rg\rangle)$$



Fuente de fotones individuales
Para un láser

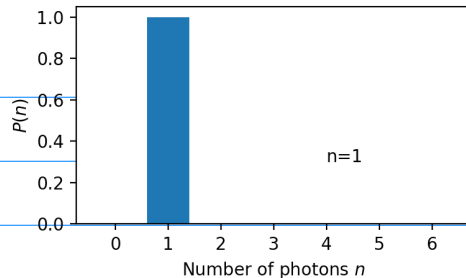


Distribución
de Poisson

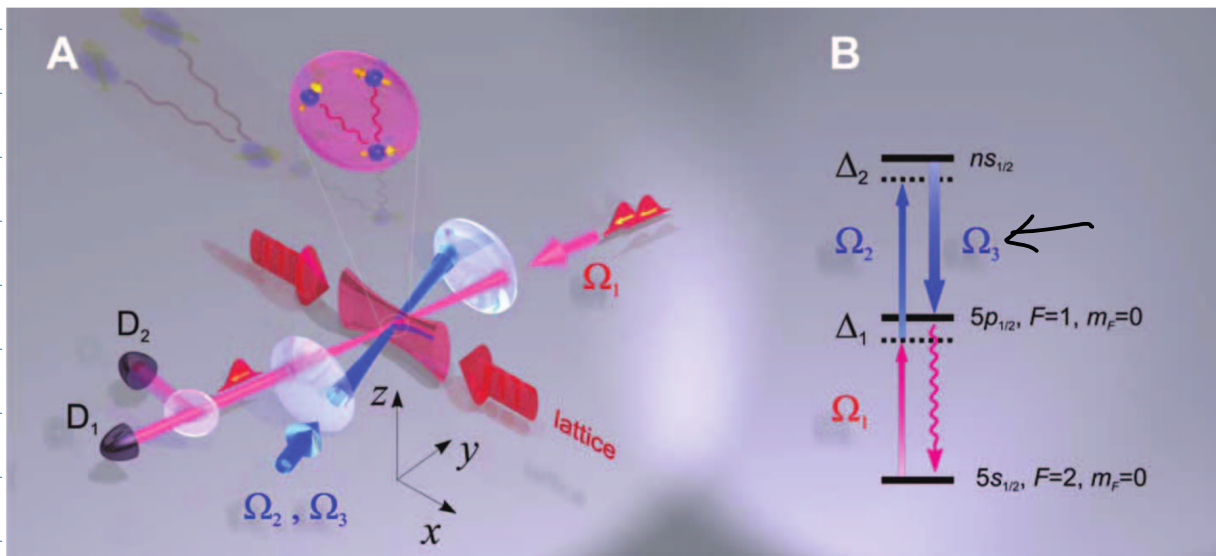


Láser atenuado

Fotones individuales



Y. O. Dudin, A. Kuzmich
DOI: 10.1126/science.1217901



Empacar átomos en un tamaño menor que el radio de bloqueo.

Radio de bloqueo

$0.001\mu\text{m} - 20\mu\text{m}$
($n \approx 5$)

($n \approx 120$)

Conclusiones

- Átomos de Rydberg: Características exageradas.
 - Tamaño
 - Vida media
 - Polarizabilidad \rightarrow Interacción
- Bloqueo \rightarrow Aislamiento y amplificación